

· 基础研究 ·

细胞外基质金属蛋白酶诱导因子通过 Toll 样受体-4 信号通路调节巨噬细胞自噬水平

赵婧清¹, 王志明², 梁星¹, 郭瑞威¹, 杨丽霞^{1*}, 王先梅¹, 石燕昆¹

(¹ 联勤保障部队第920医院心血管内科, 昆明 650100; ² 江苏省苏州市第九人民医院心血管内科, 江苏 苏州 215000)

【摘要】目的 探讨细胞外基质金属蛋白酶诱导因子(EMMPRIN)是否通过 Toll 样受体-4(TLR4)通路调节巨噬细胞自噬水平。**方法** 用终浓度为 5 ng/ml 的佛波酯(PMA)诱导人单核细胞白血病细胞系(THP-1)THP-1 单核细胞 48 h, 采用分化的巨噬细胞进行实验。实验分为对照组、EMMPRIN 组和 TAK-242 组。蛋白印迹法检测各组 TLR4、核因子-κB (NF-κB)、LC3-II、Beclin1 及 P62 蛋白表达水平; 免疫荧光检测各组 LC3-II、Beclin1 及 P62 蛋白荧光表达情况。采用 SPSS 22.0 软件对数据进行处理。**结果** Western blot 检测发现, EMMPRIN 组与对照组及 TAK-242 组相比, TLR4、NF-κB 蛋白表达水平均升高(均 $P < 0.05$), LC3-II 蛋白表达水平均升高($P < 0.05$), Beclin1 蛋白表达水平也升高[EMMPRIN 组与对照组比较, 差异无统计学意义($P > 0.05$), 但仍较对照组升高; EMMPRIN 组与 TAK-242 组比较, 差异有统计学意义($P < 0.05$)], P62 蛋白表达水平降低(均 $P < 0.05$)。免疫荧光检测发现, EMMPRIN 组与对照组及 TAK-242 组相比, LC3-II、Beclin1 蛋白荧光表达水平明显升高(均 $P < 0.05$), P62 蛋白表达水平无差异统计学意义($P > 0.05$)。**结论** EMMPRI 可能通过 TLR4 信号通路调节人 THP-1 巨噬细胞过度自噬。

【关键词】 动脉粥样硬化; 细胞外基质金属蛋白酶诱导因子; Toll 样受体-4 信号通路; 核转录因子-κB 通路; 自噬

【中图分类号】 R543.5; R361.3

【文献标志码】 A

【DOI】 10.11915/j.issn.1671-5403.2021.02.028

Autophagy regulation by EMMPRIN in macrophages via Toll-like receptor-4 signaling pathway

ZHAO Chang-Qing¹, WANG Zhi-Ming², LIANG Xing¹, GUO Rui-Wei¹, YANG Li-Xia^{1*}, WANG Xian-Mei¹, SHI Yan-Kun¹

(¹Department of Cardiology, 920th Hospital of Joint Logistics Support Force, Kunming 650100, China; ²Department of Cardiology, Ninth People's Hospital of Suzhou City, Suzhou 215000, Jiangsu Province, China)

【Abstract】 Objective To investigate whether extracellular matrix metalloproteinase inducer (EMMPRIN) regulates autophagy in macrophages via the Toll-like receptor-4 (TLR4) pathway. **Methods** Human monocytic leukemia cell line (THP-1) monocytes were induced with phorbol ester (PMA) at a final concentration of 5 ng/ml for 48 h, and the successfully differentiated macrophages were tested. The cells were divided into the control group, EMMPRIN group and TAK-242 group. The expressions of TLR4, NF-κB, LC3-II, Beclin1 and P62 were detected by Western blot. The expressions of LC3-II, Beclin1 and P62 were detected by immunofluorescence. SPSS statistics 22.0 was used to process the data. **Results** Western blot showed that the EMMPRIN group had higher expression of TLR4, NF-κB, LC3-II($P < 0.05$) than the control group and the TAK-242 group. Beclin1 protein expression level also increased in the EMMPRIN group, but with no significant difference compared with the control group ($P > 0.05$), and with significant difference compared with the TAK-242 group($P < 0.05$). Expression of P62 were lower in the EMMPRIN group than the control group and the TAK-242 group($P < 0.05$). Expression of P62 were lower in the EMMPRIN group than the control group and the TAK-242 group ($P < 0.05$). Immunofluorescence found that, the fluorescent expression of LC3-II and Beclin1 protein were significantly higher in the EMMPRIN group than that in the control group and TAK-242 group ($P < 0.05$), but the difference in the expression of P62 was not statistically significant. **Conclusion** EMMPRI may regulate excessive autophagy in human THP-1 macrophages through the TLR4 signaling pathway.

【Key words】 atherosclerosis; extracellular matrix metalloproteinase inducer; Toll-like receptor-4 signaling pathway; nuclear factor-κB pathway; autophagy

This work was supported by National Natural Science Foundation of China (81370383).

Corresponding author: YANG Li-Xia, E-mail:doctorlxyang@126.com.

收稿日期: 2020-05-29; 接受日期: 2020-08-02

基金项目: 国家自然科学基金(81370383)

通信作者: 杨丽霞, E-mail:doctorlxyang@126.com

动脉粥样硬化(atherosclerosis, AS)作为一种复杂的慢性血管炎症性疾病,多种细胞因子、炎症通路及相关降解机制均参与其调节,粥样斑块的突然破裂诱发急性心血管事件。近年发现,细胞外基质金属蛋白酶诱导因子(extracellular matrix metalloproteinase inducer, EMMPRIN)^[1]、Toll样受体-4(Toll-like receptor 4, TLR4)/核因子-κB(nuclear factor-κB, NF-κB)炎性通路^[2]、自噬^[3]均调节AS。

EMMPRIN又称CD147,可促进巨噬细胞迁移至内膜,改变斑块组成,介导炎症反应,增加斑块脆性,在巨噬细胞表面大量表达^[4]。TLR-4信号通路作为经典的炎症通路,可激活NF-κB通路,启动炎症链式反应^[2]。在AS部位和斑块中可发现NF-κB蛋白的大量表达,而在正常血管中很少检测到^[5]。自噬,即自我吞噬过程,是细胞维持稳态的溶酶体降解途径。其作为炎症的负调节剂,可清除受损的细胞器和抑制促炎复合物的形成,减缓炎症反应^[6]。基础水平的自噬可减轻炎症反应,及时清除功能失调的线粒体及受损的细胞器,对细胞起保护作用。但过度自噬则导致正常细胞死亡,斑块纤维帽变薄,炎症因子高表达,加剧斑块破裂。自噬标志一般包括LC3-II、Beclin1和P62,当发生过度自噬时LC3-II、Beclin1蛋白表达增加,而P62蛋白的表达量与时间相关,较短时间内P62的表达可不变或者降低,超过24 h或48 h后可能升高。EMMPRIN在巨噬细胞中可激活NF-κB信号通路^[7],同时EMMPRIN也可上调细胞自噬水平^[8],具体通路还有待进一步研究。TLR4和NF-κB通路的激活均可上调细胞自噬水平^[9]。所以我们推测EMMPRIN、TLR-4信号通路和自噬三者之间存在一定关系。为证实这一假设,本实验通过建立人单核细胞白血病细胞系(human monocytic leukemia cell line, THP-1)巨噬细胞模型,用EMMPRIN刺激及TAK-242抑制TLR4信号通路,观察TLR4、NF-κB及自噬相关蛋白的表达情况,以说明三者之间的关系。

1 材料与方法

1.1 实验细胞及主要试剂

人THP-1单核细胞购于中科院典型培养物保藏委员会上海细胞库。1640培养基购于美国HyClone公司,胎牛血清购于美国Gibco公司。佛波酯(phorbol myristate acetate, PMA)、4%多聚甲醛均购于北京索莱宝公司。EMMPRIN购于美国Kalang公司,TAK-242购于美国MCE公司。兔抗人TLR-4、NF-κB、Beclin1抗体及甘油醛-3-磷酸脱氢酶

(glyceraldehyde-3-phosphate dehydrogenase, GAPDH)鼠抗均购于美国Abcam公司。P62小鼠抗人、LC3B兔抗人抗体及羊抗兔IgG抗体、羊抗兔荧光二抗、羊抗小鼠荧光二抗、DAPI均购于美国Cell Signaling Technology公司。羊抗小鼠IgG抗体购于武汉塞维尔生物公司,3%戊二醛购于北京酷莱博公司。

1.2 人THP-1巨噬细胞诱导及分组

肉眼观察人THP-1单核细胞清亮透明,镜下细胞呈圆形,大小均一,悬浮生长,生长量达70%~80%、计数达 1×10^6 个/ml时,用5 ng/ml的PMA诱导48 h。将其分为对照组(仅有RPMI 1640培养基培养的人THP-1巨噬细胞)、EMMPRIN组(1 ng/ml EMMPRIN刺激6 h)及TAK-242组[5 μmol/L TAK-242刺激4 h后,磷酸盐缓冲液(phosphate buffer saline, PBS)清洗3次,再加1 ng/ml EMMPRIN刺激6 h]。

1.3 蛋白印迹法检测各组TLR4、NF-κB、LC3-II、Beclin1、P62蛋白表达水平

收集各实验组人THP-1巨噬细胞,加1 ml蛋白裂解液在冰上裂解15 min,4℃下13 000转/min离心15 min后收集上清液,100℃变性5 min,根据所测蛋白分子量配胶。胶上每孔上样30 μl蛋白悬液,100 V电泳3 h后切胶、转膜[聚偏二氟乙烯(polyvinylidene fluoride, PVDF)膜],Tris缓冲液(TBS+Tween,即Tris-HCl+NaCl+Tween20三种物质,TBST)洗膜3次,每次10 min,随后37℃下脱脂奶粉封闭1 h。分别用兔抗人TLR-4(1~3 μg/ml)、NF-κB(1:50 000~1:100 000)、LC3-II(1:1 000)、Beclin1(1:2 000)、鼠抗人P62(1:1 000)、GAPDH(1:2 000)抗体4℃孵育过夜。TBS清洗后用辣根过氧化物酶标记的羊抗小鼠IgG抗体(1:3 000~1:5 000)、羊抗兔IgG抗体(1:1 000~1:3 000)室温避光孵育1 h,TBS清洗后用化学发光试剂(electrochemiluminescence,ECL)显色液避光显色3 min,Tanon MP显影仪显示灰度值,并计算目的蛋白的相对表达量(目的蛋白与GAPDH蛋白的比值)。

1.4 免疫荧光检测各组LC3-II、Beclin1、P62蛋白荧光表达水平

将各组人THP-1巨噬细胞消化离心后爬片于盖玻片上,4%多聚甲醛固定30 min,然后PBS清洗3次,每次5 min。加50~100 μl破膜工作液,室温孵育10 min,结束后PBS清洗,随后滴加山羊血清封闭30 min。加相应二抗避光室温孵育50 min,PBS清洗后去除PBS,加细胞核染色液[2-(4-amidinophenyl)-6-indolecarbamidine, DAPI]染液避光室温孵育10 min。PBS清洗后,封片剂将玻片封固

在载玻片上,正置荧光显微镜下观察并采集图像。

1.5 统计学处理

采用 SPSS 22.0 软件进行数据分析。计量资料用($\bar{x} \pm s$)表示,多组间比较应用单因素方差分析,组间两两比较用 q 检验。 $P < 0.05$ 为差异有统计学意义。

2 结 果

2.1 人 THP-1 巨噬细胞模型的成功建立

5 ng/ml 的 PMA 刺激人 THP-1 单核细胞 48 h,建立人 THP-1 巨噬细胞模型。光学显微镜下人 THP-1 单核细胞悬浮生长,大小均一,呈圆形或类圆形(图 1A,B);PMA 诱导 6 h 后开始贴壁,细胞变为不规则,胞体逐渐增大(图 1C);PMA 诱导 48 h 后细胞基本贴壁生长,呈长梭形或棘形,部分伸出伪足(图 1D)。

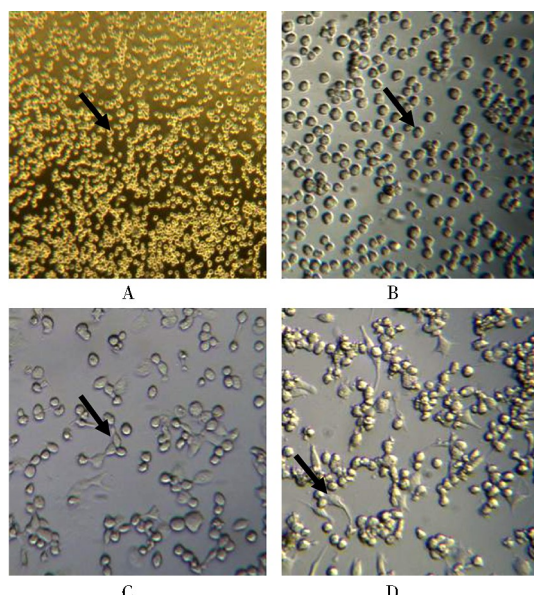


图 1 人 THP-1 单核细胞和人 THP-1 巨噬细胞形态

Figure 1 Morphology of human THP-1 monocytes and human THP-1 macrophages

A: human THP-1 monocytes ($\times 40$); B: human THP-1 monocytes ($\times 100$); C: human THP-1 macrophages after 6 h of PMA induction ($\times 100$); D: human THP-1 macrophages after 48 h of PMA induction ($\times 100$). THP-1: human monocytic leukemia cell line; PMA: phorbol myristate acetate.

2.2 EMMPRIN 及 TAK-242 对人 THP-1 巨噬细胞中 TLR4、NF-κB、LC3-II、Beclin1、P62 蛋白表达的影响

EMMMPRIN 可上调人 THP-1 巨噬细胞中 TLR4、NF-κB、LC3-II 蛋白的表达,抑制 P62 蛋白的表

达($P < 0.05$),对 Beclin1 蛋白表达的影响无统计学意义。TAK-242 可抑制人 THP-1 巨噬细胞中 TLR4、NF-κB、LC3-II、Beclin1 蛋白的表达,促进 P62 蛋白表达($P < 0.05$;图 2)。

2.3 EMMPRIN 及 TAK-242 对人 THP-1 巨噬细胞中 LC3-II、Beclin1、P62 蛋白荧光表达影响

EMMMPRIN 可促进人 THP-1 巨噬细胞中 LC3-II、Beclin1 的表达($P < 0.05$),对 P62 蛋白荧光表达的影响无统计学意义。TAK-242 可促进人 THP-1 巨噬细胞中 P62 蛋白的表达($P < 0.05$),对 LC3-II、Beclin1 蛋白荧光表达的影响无统计学意义(图 3)。

3 讨 论

AS 作为一种慢性血管疾病,围绕巨噬细胞的转化开始^[10]。EMMMPRIN 在 AS 中大量表达,在人 THP-1 巨噬细胞研究中发现,EMMMPRIN 可介导 NF-κB 活化,促进 MMP-9、IL-6 和 TNF-α 的表达,抑制 EMMMPRIN 后,NF-κB 信号通路的活性被抑制^[7]。在类风湿性关节炎的研究中同样发现,CD147 通过促进 IKK/IκB/NF-κB 通路的激活抵抗 TNF 介导的细胞坏死^[11]。由此可见 EMMMPRIN 可上调 NF-κB 信号通路。而 TLR4 通路作为 NF-κB 信号通路的上游通路,EMMMPRIN 是否同时上调 TLR4/NF-κB 通路少有研究。

自噬作为一种保护性机制,EMMMPRIN 可激活下游丝裂原活化蛋白激酶(mitogen-activated protein kinases, MAPK)通路,其中 MAPK1 和 MAPK14 可上调细胞自噬水平^[8]。同时 MAPK 可激活 5-单磷酸激活蛋白激酶^[12],并导致 mTOR 活性降低,自噬增加^[13]。研究也证实Ⅲ型 PI3K/Atk/mTOR 通路可正向调节自噬^[14]。

据报道,岩藻糖化抗原修饰的 CD147^[15]及 CD147 核定位片段(CD147-ICD)^[16]均可增强细胞自噬水平。上述研究虽然自噬水平上调,但是否发生过度自噬仍不清楚。

在下颌下腺炎相关研究^[17]及 Fujita 等^[18]的研究中均发现 TLR4 的激活上调自噬水平。而 Qin 等^[19]关于大脑白质缺血性损伤的研究发现,TLR 基因的敲除可抑制 LC3-II 及 Beclin-1 蛋白的上调,并增加脑白质中 p62 蛋白的表达。同样 NF-κB 信号通路的激活也上调细胞自噬水平,阻断 NF-κB 通路后,自噬标志 Beclin1、LC3-II 同时降低,P62 则大量积累^[20]。说明 TLR4 信号通路的激活可上调自噬水平。而 TLR4 信号通路是否参与 EMMMPRIN 对自噬的调节少有研究。

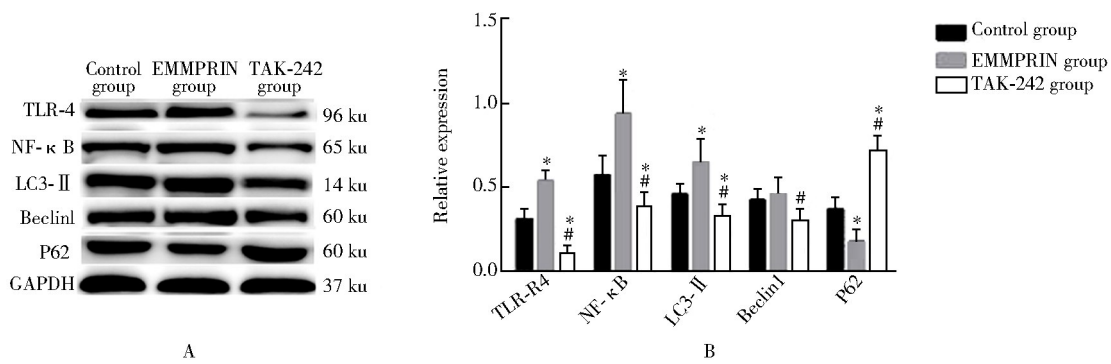


图2 EMMPRIN及TAK-242对人THP-1巨噬细胞中TLR4、NF-κB、LC3-II、Beclin1、P62蛋白表达的影响

Figure 2 Effects of EMMPRIN and TAK-242 on TLR4, NF-κB, LC3-II, Beclin1, P62 protein

expression in human THP-1 macrophages

A: Western blotting; B: Statistical analysis.

EMMPRLN: extracellular matrix metalloproteinase inducer; TLR-4: Toll-like receptor-4; NF-κB: nuclear factor-κB; GAPDH: glyceraldehyde-3-phosphate dehydrogenase. Compared with control group, * $P < 0.05$; compared with EMMPRIN group, # $P < 0.05$.

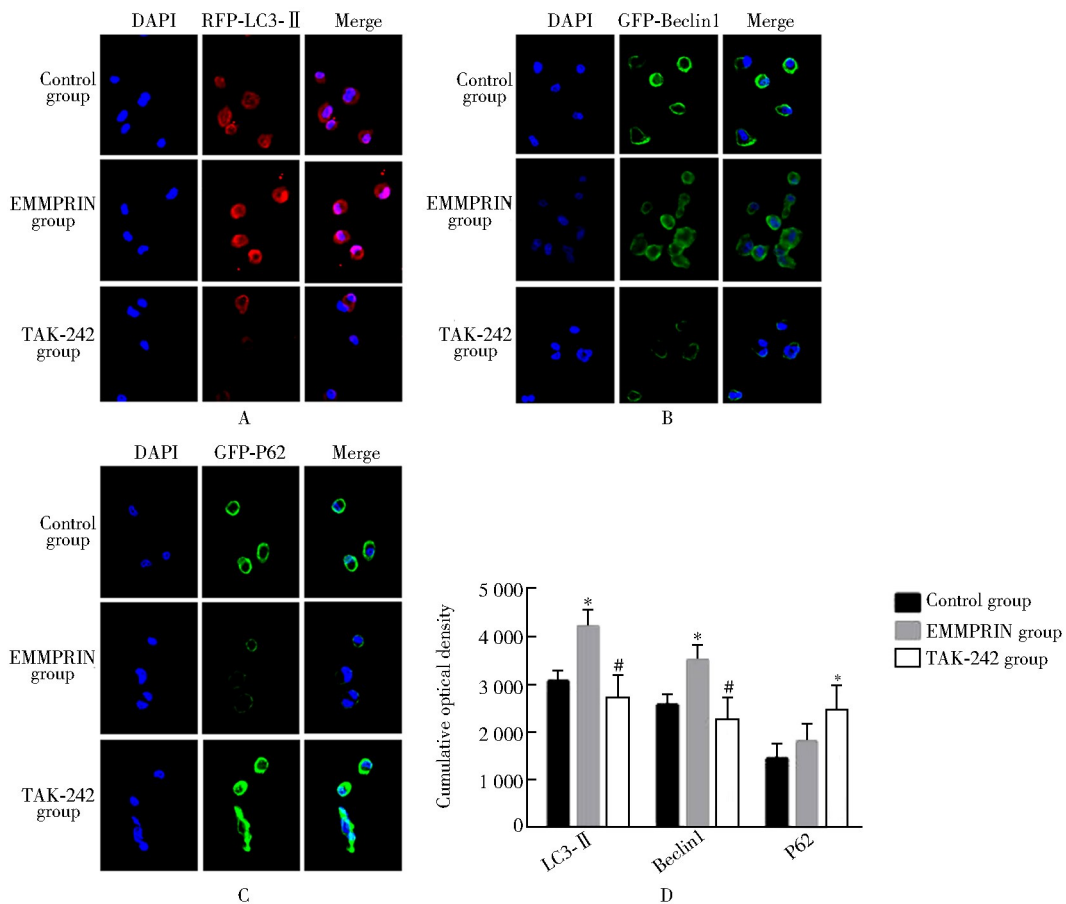


图3 EMMPRIN及TAK-242对人THP-1巨噬细胞中LC3-II、Beclin1、P62蛋白荧光表达的影响

Figure 3 Effect of EMMPRIN and TAK-242 on fluorescence expression of LC3-II,

Beclin1, P62 protein in human THP-1 macrophages.

A: fluorescence expression of LC3-II protein. RFP-LC3-II refers to red fluorescence expression of LC3-II protein. B: fluorescent expression of Beclin1 protein. GFP-Beclin1 refers to green fluorescent expression of Beclin1 protein. C: fluorescence expression of P62 protein. GFP-P62 refers to green fluorescent expression of P62 protein. DAPI is 20 times microscope staining of nuclear nuclei. D: statistical analysis of cumulative fluorescence optical density. EMMPRINL: extracellular matrix metalloproteinase inducer; DAPI 2-(4-amidinophenyl)-6-indolecarbamidine. Compared with control group, * $P < 0.05$; compared with EMMPRIN group, # $P < 0.05$.

本实验通过建立巨噬细胞模型,初步探讨了EMMPRIN 刺激及 TAK-242 阻断 TLR4 通路对巨噬细胞自噬的影响。EMMPRIN 刺激后 TLR4、NF-κB 蛋白表达水平均明显升高,说明 EMMPRIN 可能正向调节 TLR4/NF-κB 通路。而 EMMPRIN 刺激后,Western blot 和免疫荧光检测均发现自噬相关蛋白表达上调,说明 EMMPRIN 可能导致巨噬细胞过度自噬;当抑制 TLR4 通路后,自噬相关蛋白表达降低,进一步说明 EMMPRIN 可能通过 TLR4 信号通路调节巨噬细胞过度自噬。

综上,本研究虽说明了 EMMPRIN 可能通过 TLR-4 通路调节巨噬细胞过度自噬,但有一定局限性。EMMPRIN 作为大分子物质,活性很难检测,进入细胞的量无法控制,且 EMMPRIN 下游通路众多,刺激浓度及时间不同,激活的下游通路可能也不同,其详细机制仍需进一步研究。

【参考文献】

- [1] Cao J, Ye B, Lin L, et al. Curcumin alleviates oxLDL induced MMP-9 and EMMPRIN expression through the inhibition of NF-κB and MAPK pathways in macrophages[J]. *Front Pharmacol*, 2017, 8: 62. DOI: 10.3389/fphar.2017.00062.
- [2] 李如月, 向晓辉, 张斌, 等. TLR4 信号通路相关 miRNAs 在炎症反应调节中的[J]. 天津医药, 2017, 45(7): 771–776. DOI: 10.11958/20170207.
- Li RY, Xiang XH, Zhang B, et al. Research progress of miRNAs related to TLR4 signaling pathway in the regulation of inflammatory response[J]. *Tianjin Pharmaceutical*, 2017, 45(7): 771–776. DOI: 10.11958/20170207.
- [3] Grootaert MOJ, Moulis M, Roth L, et al. Vascular smooth muscle cell death, autophagy and senescence in atherosclerosis[J]. *Cardiovasc Res*, 2018, 114(4): 622–634. DOI: 10.1093/cvr/cvy007.
- [4] Wang CP, Jin R, Zhu XL, et al. Function of CD147 in atherosclerosis and atherothrombosis[J]. *J Cardiovasc Transl Res*, 2015, 8(1): 59–66. DOI: 10.1007/s12265-015-9608-6.
- [5] Morita M, Yano S, Yamaguchi T, et al. Advanced glycation end products-induced reactive oxygen species generation is partly through NF-kappa B activation in human aortic endothelial cells[J]. *J Diabetes Complications*, 2013, 27(1): 11–15. DOI: 10.1016/j.jdiacomp.2012.07.006.
- [6] Evans TD, Jeong SJ, Zhang X, et al. TFEB and trehalose drive the macrophage autophagy-lysosome system to protect against atherosclerosis[J]. *Autophagy*, 2018, 14(4): 724–726. DOI: 10.1080/15548627.2018.1434373.
- [7] Huang Z, Meng S, Wang L, et al. Suppression of oxLDL-induced MMP-9 and EMMPRIN expression by berberine via inhibition of NF-κB activation in human THP-1 macrophages[J]. *Anat Rec*, 2012, 295(9): 78–86. DOI: 10.1002/ar.21489.
- [8] Hirota Y, Yamashita SI, Kurihara Y, et al. Mitophagy is primarily due to alternative autophagy and requires the MAPK1 and MAPK14 signaling pathways[J]. *Autophagy*, 2015, 11(2): 332–343. DOI: 10.1080/15548627.2015.1023047.
- [9] Khan N, Vidyarthi A, Pahari S, et al. Signaling through NOD-2 and TLR-4 bolsters the T cell priming capability of dendritic cells by inducing autophagy[J]. *Sci Rep*, 2016, 6: 19084. DOI: 10.1038/srep19084.
- [10] Cochain C, Zernecke A. Macrophages in vascular inflammation and atherosclerosis[J]. *Pflugers Arch*, 2017, 469(3–4): 485–499. DOI: 10.1007/s00424-017-1941-y.
- [11] Zhai Y, Wu B, Li J, et al. CD147 promotes IKK/IkB/NF-κB pathway to resist TNF-induced apoptosis in rheumatoid arthritis synovial fibroblasts[J]. *J Mol Med (Berl)*, 2016, 94(1): 71–82. DOI: 10.1007/s00109-015-1334-7.
- [12] Schultze SM, Hemmings BA, Markus N, et al. PI3K/AKT, MAPK and AMPK signalling: protein kinases in glucose homeostasis[J]. *Expert Rev Mol Med*, 2012, 14: e1. DOI: 10.1017/S14623994-11002109.
- [13] Sheng W, Chunyan W, Fuxia Y, et al. N-Acetylcysteine attenuates diabetic myocardial ischemia reperfusion injury through inhibiting excessive autophagy[J]. *Mediators Inflamm*, 2017, 2017: 1–10. DOI: 10.1155/2017/9257291.
- [14] Jaber N, Dou Z, Chen JS, et al. Class III PI3K Vps34 plays an essential role in autophagy and in heart and liver function[J]. *Proc Natl Acad Sci USA*, 2012, 109(4): 2003–2008. DOI: 10.1073/pnas.1112848109.
- [15] Hu Z, Cai M, Deng L, et al. The fucosylated CD147 enhances the autophagy in epithelial ovarian cancer cells[J]. *Oncotarget*, 2016, 7(50): 82921–82932. DOI: 10.18632/oncotarget.13289.
- [16] Wu B, Cui J, Yang XM, et al. Cytoplasmic fragment of CD147 generated by regulated intramembrane proteolysis contributes to HCC by promoting autophagy[J]. *Cell Death Dis*, 2017, 8(7): e2925. DOI: 10.1038/cddis.2017.251.
- [17] Li J, Li B, Cheng Y, et al. The synergistic effect of NOD2 and TLR4 on the activation of autophagy in human submandibular gland inflammation[J]. *J Oral Pathol Med*, 2019, 48(1): 87–95. DOI: 10.1111/jop.12793.
- [18] Fujita KI, Srinivasula SM. TLR4-mediated autophagy in macrophages is a p62-dependent type of selective autophagy of aggresome-like induced structures (ALIS)[J]. *Autophagy*, 2011, 7(5): 552–554. DOI: 10.4161/auto.7.5.15101.
- [19] Qin C, Liu Q, Hu ZW, et al. Microglial TLR4-dependent autophagy induces ischemic white matter damage via STAT1/6 pathway[J]. *Theranostics*, 2018, 8(19): 5434–5451. DOI: 10.7150/thno.27882.
- [20] Vequaud E, Seveno C, Loussouarn D, et al. YM155 potently triggers cell death in breast cancer cells through an autophagy-NF-κB network[J]. *Oncotarget*, 2015, 6(15): 13476–13486. DOI: 10.18632/oncotarget.3638.

(编辑: 温玲玲)